

TIGE EC2

avec prise en compte fluage non linéaire et traction du béton dans les aciers

1. Données du problème

version 2 janvier 2008

1.0 Convention de présentation

Les données sont présentées sous forme de tableau de la façon suivante :

Notation	(unité)	Désignation Commentaire	Exemple numérique	
		Constantes utilisées :	$kN := 1000 \cdot \text{newton}$ $\text{MPa} := 10^6 \cdot \text{Pa}$	$\text{TRUE} := 1$
1.1 Données matériau			$MN := 1000 \cdot kN$	
f_{ck}	(MPa)	résistance caractéristique à 28 jours	$f_{ck} := 30 \cdot \text{MPa}$	
f_{yk}	(MPa)	acier: limite d'élasticité	$f_{yk} := 500 \cdot \text{MPa}$	
classeacier		classe de l'acier (A, B ou C)	$\text{classeacier} := \text{"B"}$	
γ_c		Coefficient partiel du béton	$\gamma_c := 1.5$	(1.2 en accidentel)
γ_s		Coefficient partiel de l'acier	$\gamma_s := 1.15$	1.15 en accidentel)
ϕ		Coefficient de fluage infini (voir note)	$\phi := 2$	
α		Rapport entre moment du 1er ordre quasi-permanent aux ELS et le moment du 1er ordre total aux ELU $\alpha = M0Eqp / M0Ed$	$\alpha := 0$	
		soit le fluage efficace	$\phi_{ef} := \alpha \cdot \phi$	$\phi_{ef} = 0$

1.2 Données efforts

$e_1 = \text{moment ultime} / \text{normal ultime}$

à modifier

e_1	(m)	Excentricité $e_1 = e + e_a$	$e_1 := 0.15 \cdot m$
N_{ue}	(kN)	Effort normal ultime appliqué au poteau	$N_{ue} := 4000 \cdot kN$ $N_{ue} = 4 MN$

1.3 Données géométriques

l	(m)	Hauteur du poteau (utilisée pour le calcul de l_f)	
l_f	(m)	Longueur de flambement	$l_f := 15 \cdot m$ $M_{Ed} := N_{ue} \cdot e_1$ $M_{Ed} = 0.6 MN \cdot m$ $M_{qp} := \alpha \cdot M_{Ed}$ $M_{qp} = 0 MN \cdot m$

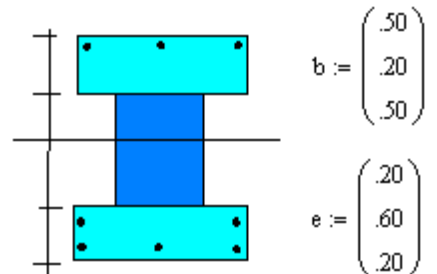
Analyse du logiciel TIGEEC2

Analyse du logiciel TIGEEC2

1.3.1 Section polygonale

tranches de béton

n_{tra}	Nombre de tranches	$n_{tra} := 1$
b_i (m)	Largeur des tranches	$b_0 := .5 \cdot m$
e_i (m)	Hauteur des tranches	$e_0 := .70 \cdot m$



nappes d'armature

n_{aci}	Nombre de nappes	$n_{aci} := 2$
A_i (cm^2)	Sections d'armatures par nappe / haut	
z_i (m)	Distance plan de la nappe au parement supérieur	

$$A := \begin{pmatrix} 32 \\ 32 \end{pmatrix} \cdot cm^2$$

$$z := \begin{pmatrix} 0.05 \\ 0.65 \end{pmatrix} m$$

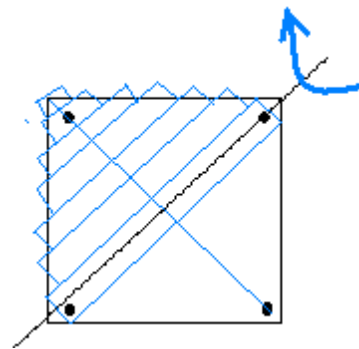
1.3.2 Section carrée avec flambement selon la diagonale

section béton

a (m)	Coté du carré	$a := 0.3 \cdot m$
---------	---------------	--------------------

On en déduit la répartition du béton par découpage en 20 tranches équidistantes parallèles à la deuxième diagonale :

n_{tra}	Nombre de tranches	$n_{tra} := 20$	$i_b := 0..n_{tra}-1$
e_i (m)	Hauteur des tranches constantes	$e_{ib} := \frac{a \cdot \sqrt{2}}{n_{tra}}$	$e_0 = \dots$



b_i (m)	Largeur des tranches (à la demi-épaisseur)
$b_{ib} := \text{si } ib < \frac{n_{tra}}{2}, (2 \cdot ib + 1) \cdot e_{ib}, (2 \cdot n_{tra} - 2 \cdot ib - 1) \cdot e_{ib}$	$b^T = \dots$

$$ay := .30 \quad \frac{ay \cdot \sqrt{2}}{20} = 0.021$$

nappes d'armature

Elles sont décrites nappe par nappe parallèles à la deuxième diagonale

n_{aci}	Nombre de nappes	$n_{aci} := 3$
A_i (cm^2)	Sections d'armatures par nappe	$A := \begin{pmatrix} 3.14 \\ 6.28 \\ 3.14 \end{pmatrix} \cdot cm^2$
z_i (m)	Distance plan de la nappe au parement supérieur	$z := \begin{pmatrix} 0.04 \\ 0.21 \\ 0.38 \end{pmatrix} m$

Analyse du logiciel TIGEEC2

1.3.3 Section circulaire

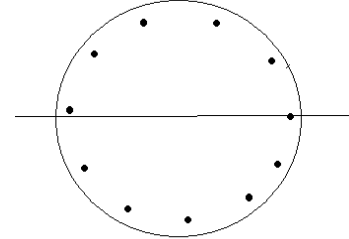
Analyse du logiciel TIGEEC2

section béton

$$\phi_1 \quad (\text{m}) \quad \text{Diamètre du cercle} \quad \phi_1 := 0.4 \cdot \text{m}$$

On en déduit la répartition du béton par découpage en 20 tranches équidistantes

n_{tra} Nombre de tranches
 $n_{\text{tra}} := 20$ $ib := 0..n_{\text{tra}} - 1$



e_i (m) Hauteur des tranches constantes
 $e_{ib} := \frac{\phi_1}{n_{\text{tra}}}$ $e_0 = \dots$

b_i (m) Largeur des tranches : intersection avec le cercle prise à la demi-épaisseur
longueur de l'intersection avec une droite située à une distance y de la circonférence
 $f_{\text{TrancheCercle}}(\phi, y) := \text{si}\left[(y > 0 \cdot \text{m}) \cdot (y < \phi), 2 \cdot \sqrt{y \cdot (\phi - y)}, 0 \cdot \text{m}\right]$

$$b_{ib} := f_{\text{TrancheCercle}}\left[\phi_1, (2 \cdot ib + 1) \cdot \frac{e_{ib}}{2}\right] \quad b^T = \dots$$

nappes d'armature

$A_1 \quad (\text{cm}^2)$ Section totale des armatures
 $A_1 := 39.28 \cdot \text{cm}^2$

c (m) Enrobage
 $c := 0.05 \cdot \text{m}$

Les armatures sont arbitrairement réparties en 8 parties disposées symétriquement autour de l'axe de flambement, ce qui conduit à la description de 5 nappes.

n_{aci} Nombre de nappes
 $n_{aci} := 5$ $ia := 0..n_{aci} - 1$

$A_i \quad (\text{cm}^2)$ Sections d'armatures par nappe
 $A_{ia} := \text{si}\left[(ia > 0) \cdot (ia < n_{aci} - 1), 1, 0.5\right] \cdot \frac{A_1}{n_{aci} - 1} \quad A^T = \dots \text{cm}^2$

z_i (m) Distance plan de la nappe au parement supérieur

$$z_{ia} := \frac{\phi_1}{2} - \left(\frac{\phi_1}{2} - c \right) \cdot \cos\left(\pi \cdot \frac{ia}{n_{aci} - 1}\right) \quad z^T = \dots$$

$$0.15 \cdot \phi_1 + 0.7 \cdot c = \dots \quad 0.85 \cdot \phi_1 - 0.7 \cdot c = \dots$$

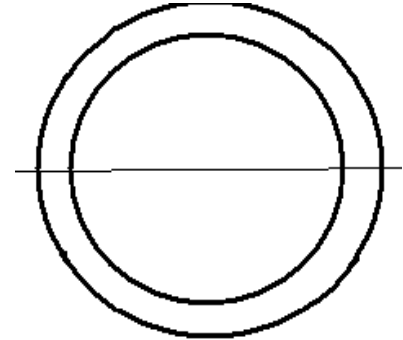
Analyse du logiciel TIGEEC2

Analyse du logiciel TIGEEC2

1.3.4 Section annulaire

section béton

ϕ_1	(m)	Diamètre extérieur	$\phi_1 := 3.0 \cdot m$
ϕ_2	(m)	Diamètre intérieur	$\phi_2 := 2.6 \cdot m$



On en déduit la répartition du béton par découpage en 20 tranches équidistantes

n_{tra} Nombre de tranches
 $n_{tra} := 20$ $ib := 0..n_{tra}-1$

e_i (m) Hauteur des tranches constantes
 $e_{ib} := \frac{\phi_1}{n_{tra}}$ $e_0 =$

b_i (m) Largeur des tranches : différence avec les intersections avec les cercles extérieur et intérieur prises à la demi-épaisseur

$$b_{ib} := fTrancheCercle\left[\phi_1, (2 \cdot ib + 1) \cdot \frac{e_{ib}}{2}\right] - fTrancheCercle\left[\phi_2, (2 \cdot ib + 1) \cdot \frac{e_{ib}}{2} - \frac{\phi_1 - \phi_2}{2}\right]$$

$$b^T =$$

nappes d'armature

A_1 (cm^2) Section totale des armatures
 $A_1 := 176 \cdot cm^2$

c (m) Enrobage
 $c := 0.10 \cdot m$

Les armatures sont arbitrairement réparties en 8 parties disposées symétriquement autour de l'axe de flambement, ce qui conduit à la description de 5 nappes.

n_{aci} Nombre de nappes
 $n_{aci} := 5$ $ia := 0..n_{aci}-1$

A_i (cm^2) Sections d'armatures par nappe
 $A_{ia} := si[(ia > 0) \cdot (ia < n_{aci} - 1), 1, 0.5] \cdot \frac{A_1}{n_{aci} - 1}$ $A^T = cm^2$

z_i (m) Distance plan de la nappe au parement supérieur

$$z_{ia} := \frac{\phi_1}{2} - \left(\frac{\phi_1}{2} - c\right) \cos\left(\pi \cdot \frac{ia}{n_{aci} - 1}\right)$$

$$z^T =$$

Analyse du logiciel TIGEEC2

2. Calculs EC2

2.1 Calculs divers

résistance de calcul du béton

$$f_{cd} := \frac{f_{ck}}{\gamma_c}$$

$$f_{cd} = 20 \text{ MPa}$$

$$f_{cm} := f_{ck} + 8 \cdot \text{MPa}$$

$$f_{cm} = 38 \text{ MPa}$$

module beton

$$E_{cm} := 22000 \cdot \left(\frac{f_{cm}}{10 \cdot \text{MPa}} \right)^{0.3} \cdot \text{MPa}$$

$$E_{cm} = 32836.568 \text{ MPa}$$

correction fluage non linéaire

$$\epsilon_{c1} := \min \left[\left[0.0007 \cdot \left(\frac{f_{cm}}{\text{MPa}} \right)^{0.31} \quad 0.0028 \right] \right]$$

$$\epsilon_{c1} = 0.00216$$

$$\epsilon_{cu1} := \begin{cases} 0.0028 + 0.027 \cdot \left(\frac{98 \cdot \text{MPa} - f_{cm}}{100 \cdot \text{MPa}} \right)^4 & \text{if } f_{ck} \geq 50 \cdot \text{MPa} \\ 0.0035 & \text{otherwise} \end{cases}$$

$$\epsilon_{cu1} = 0.0035$$

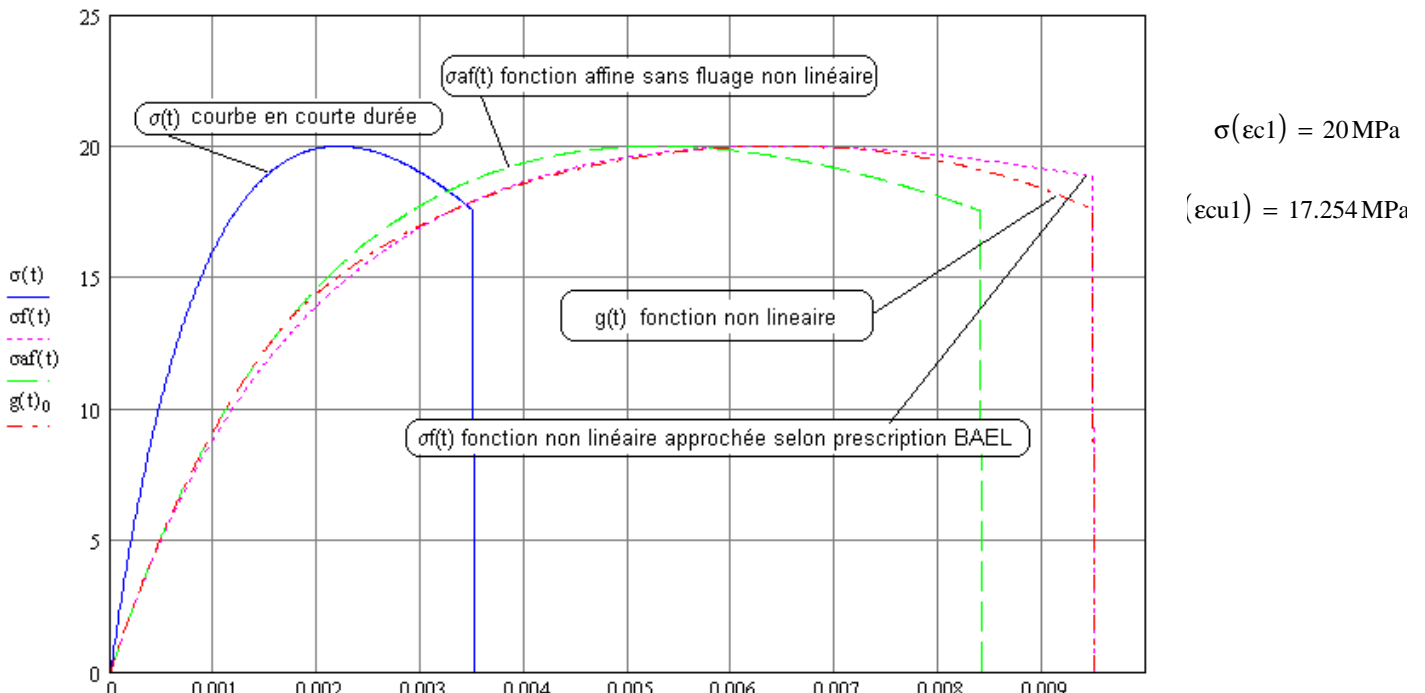
la courbe contrainte déformation doit prendre en compte l'effet fluage non linéaire dès que la contrainte σ dépasse 0,45.fck.

première approche: on calcule pour un raccourcissement qui tient compte de l'affinité $(1+\alpha\phi)$ donné et on calcule la contrainte sur un raccourcissement $\epsilon'=\epsilon/(1+\alpha\phi)$.

deuxième approche: c'est celle du BAEL on conserve la courbe définie pour une courte durée, et on remplace les raccourcissemens ϵ_{c1} et ϵ_{cu1} par leurs valeurs "affines" $x(1+\alpha\phi)$. l'erreur est très faible sur la véritable courbe affine.

$$k := 1.05 \cdot \frac{E_{cm} \cdot \epsilon_{c1}}{1.2 \cdot f_{cd}} \quad k = 3.106$$

$$\sigma(\epsilon) := \begin{cases} f_{cd} \cdot \frac{k \cdot \frac{\epsilon}{\epsilon_{c1}} - \left(\frac{\epsilon}{\epsilon_{c1}} \right)^2}{1 + (k-2) \cdot \frac{\epsilon}{\epsilon_{c1}}} & \text{if } \epsilon \leq \epsilon_{cu1} \\ 0 & \text{otherwise} \end{cases} \quad f_{cd} = 20 \text{ MPa}$$



Analyse du logiciel TIGEEC2

si la contrainte dépasse $0.45 \cdot f_{ck}$ le fluage est donné par
avec le fluage défini par $\phi_{ef} = 0$

$$\phi_{efk}(\varepsilon) := \begin{cases} \phi_{ef} \cdot \exp\left[1.5 \cdot \left(\frac{\sigma(\varepsilon)}{f_{ck}} - 0.45\right)\right] & \text{if } \sigma(\varepsilon) \geq 0.45 \cdot f_{ck} \\ \phi_{ef} & \text{otherwise} \end{cases}$$

$$\sigma(\varepsilon_{c1}) = 20 \text{ MPa} \quad 0.45 \cdot f_{ck} = 13.5 \text{ MPa} \quad \varepsilon_{c1} = 0.002 \quad \phi_{efk}(\varepsilon_{c1}) = 0 \quad \phi_{efk}(\varepsilon_{c1}) + 1 = 1 \\ \phi_{efk}(\varepsilon_{cu1}) = 0 \quad \phi_{efk}(\varepsilon_{cu1}) + 1 = 1$$

$$\varepsilon_{cu1f} := \varepsilon_{cu1} \cdot (\phi_{efk}(\varepsilon_{cu1}) + 1) \quad \varepsilon_{cu1f} = 0.0035 \quad \varepsilon_{c1f} := \varepsilon_{c1} \cdot (\phi_{efk}(\varepsilon_{c1}) + 1) \quad \varepsilon_{c1f} = 0.0022$$

définition de la surface $AB := \sum_{i=0}^{n_{tra}-1} e_i \cdot b_i \quad AB = 0.35 \text{ m} \quad e_0 = 0.7 \text{ m} \quad b_0 = 0.5 \text{ m}$

attention la pente de la courbe doit être corrigée par $1+\alpha \cdot \phi$ pour un fluage défini pour un raccourcissement ==> 0

coefficient k du béton $k_{beton} := 1.05 \cdot \frac{E_{cm}}{1.2 \cdot (\phi_{efk}(0) + 1)} \cdot \frac{|\varepsilon_{c1f}|}{f_{cd}} \quad k_{beton} = 3.106 \quad \phi_{efk}(0) + 1 = 1$

$$\sigma_f(\varepsilon) := \begin{cases} f_{cd} \cdot \frac{\left[k_{beton} \cdot \frac{\varepsilon}{\varepsilon_{c1f}} - \left(\frac{\varepsilon}{\varepsilon_{c1f}} \right)^2 \right]}{1 + (k_{beton} - 2) \cdot \frac{\varepsilon}{\varepsilon_{c1f}}} & \text{if } \varepsilon \leq \varepsilon_{cu1f} \\ 0 & \text{otherwise} \end{cases}$$

$$\int \frac{ax - (x)^2}{1 + (a - 2) \cdot x} dx = \frac{-1}{2 \cdot (a - 2)^2} \cdot a \cdot x^2 + \frac{1}{(a - 2)^2} \cdot x^2 + \frac{1}{(a - 2)^2} \cdot x + \frac{1}{(a - 2)^3} \cdot \ln(1 + x \cdot a - 2 \cdot x) \cdot ax \cdot a^2 - \frac{4}{(a - 2)^3} \cdot \ln(1 + x \cdot a - 2 \cdot x) \cdot ax \cdot a \\ + \frac{4}{(a - 2)^3} \cdot \ln(1 + x \cdot a - 2 \cdot x) \cdot ax - \frac{1}{(a - 2)^3} \cdot \ln(1 + x \cdot a - 2 \cdot x)$$

Analyse du logiciel TIGEEC2

résistance de calcul des aciers $f_{yd} := \frac{f_y k}{\gamma_s}$ $f_{yd} = 434.783 \text{ MPa}$

Module d'élasticité de l'acier

$E := 200000 \cdot \text{MPa}$

$$\varepsilon_{uk} := \begin{cases} 0.025 & \text{if classeacier = "A"} \\ 0.050 & \text{if classeacier = "B"} \\ 0.075 & \text{otherwise} \end{cases}$$

valeur caractéristique de la déformation relative des aciers sous charges maximales $\varepsilon_{uk} = 0.05$

$$k_{acier} := \begin{cases} 1.05 & \text{if classeacier = "A"} \\ 1.08 & \text{if classeacier = "B"} \\ 1.15 & \text{otherwise} \end{cases}$$

coefficient k de l'acier $k_{acier} = 1.08$

$\varepsilon_{ud} := 0.9 \cdot \varepsilon_{uk}$

allongement de calcul des aciers ε_{ud} :

$\varepsilon_{ud} = 0.045$

definition de la section

$i_a := 0 .. n_{aci} - 1$ Indices nappes d'armatures

$i_b := 0 .. n_{tra} - 1$ Indices tranches de béton

$h := \sum_{ib} e_{ib}$ Hauteur de la section

$S_{ib} := e_{ib} \cdot b_{ib}$ Section des tranches de béton

$y_{ib} := \left(\sum_{j=0}^{ib} e_j \right) - \frac{e_{ib}}{2}$ Centre de gravité des tranches

$y_G := \frac{\sum_{ib} (y_{ib} \cdot S_{ib})}{\sum_{ib} S_{ib}}$ Centre de gravité de la section béton $y_G = 0.35 \text{ m}$

$I_A := \sum_{ia} A_{ia} \cdot 15 \cdot (y_G - z_{ia})^2$ $I_A = 0.009 \text{ m}^4$ inertie due aux aciers

$i_b := 0 .. n_{tra} - 1$ inertie du beton

$$IG := \left[\sum_{ib} \left[\frac{(e_{ib} \cdot e_{ib} \cdot b_{ib})}{12} + IA + S_{ib} \cdot (y_G - y_{ib})^2 \right] \right] \text{ogicie} \quad IG = 0.023 \text{ m}^4 \quad y_0 = 0.35 \text{ m}$$

2.2 Fonctions utilisées

loi contrainte - déformation du béton : $\sigma_b(x)$

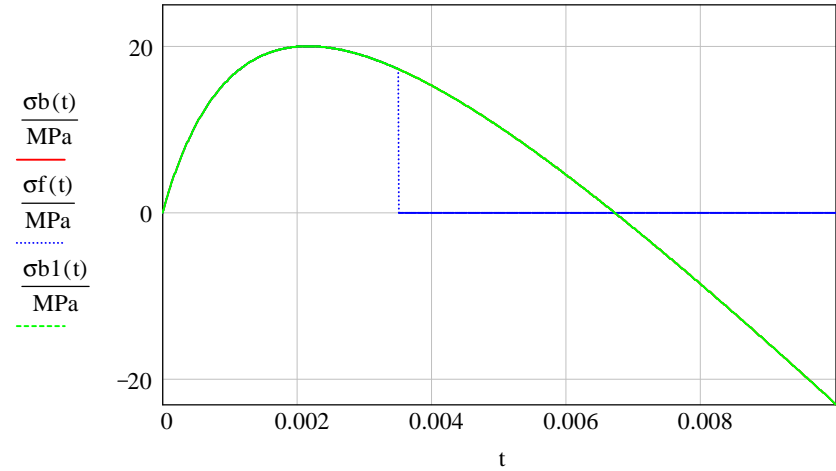
$$k_{\text{beton}} = 3.106$$

$$\epsilon_{clf} = 0.002$$

$$\sigma_b(x) := \begin{cases} E_{cd} \leftarrow \frac{E_{cm}}{1.2} \\ \eta \leftarrow \frac{x}{\epsilon_{clf}} \\ f_{cd} \cdot \frac{k_{\text{beton}} \cdot \eta - \eta^2}{1 + (k_{\text{beton}} - 2) \cdot \eta} \end{cases}$$

$$\sigma_b(0.002) = 19.945 \text{ MPa}$$

Efforts repris par une tranche de béton



$$\begin{aligned} f_{cn}(\gamma, r) := & \frac{-1}{2 \cdot r \cdot \epsilon_{clf} \cdot (k_{\text{beton}} - 2)} \cdot \gamma^2 + \frac{1}{k_{\text{beton}} - 2} \cdot \left(k_{\text{beton}} + \frac{1}{k_{\text{beton}} - 2} \right) \gamma \dots \\ & + \frac{-r \cdot \epsilon_{clf}}{(k_{\text{beton}} - 2)^2} \cdot \left(k_{\text{beton}} + \frac{1}{k_{\text{beton}} - 2} \right) \cdot \ln \left(1 + \frac{k_{\text{beton}} - 2}{r \cdot \epsilon_{clf}} \cdot \gamma \right) \end{aligned}$$

$$\begin{aligned} f_{cm}(\gamma, r) := & \frac{-1}{3 \cdot (k_{\text{beton}} - 2) \cdot r \cdot \epsilon_{clf}} \cdot \gamma^3 + \frac{1}{2 \cdot (k_{\text{beton}} - 2)} \cdot \left(k_{\text{beton}} + \frac{1}{k_{\text{beton}} - 2} \right) \gamma^2 - \frac{r \cdot \epsilon_{clf}}{(k_{\text{beton}} - 2)^2} \cdot \left(k_{\text{beton}} + \frac{1}{k_{\text{beton}} - 2} \right) \gamma \dots \\ & + \frac{r^2 \cdot \epsilon_{clf}^2}{(k_{\text{beton}} - 2)^3} \cdot \left(k_{\text{beton}} + \frac{1}{k_{\text{beton}} - 2} \right) \cdot \ln \left(1 + \frac{k_{\text{beton}} - 2}{r \cdot \epsilon_{clf}} \cdot \gamma \right) \end{aligned}$$

$$f_{N_{ib}}(r, b, \gamma, epa1, epa2) := \begin{cases} yt \leftarrow \max((\gamma - h_0)) \\ Nu \leftarrow 0 \cdot kN \text{ if } \gamma - epa1 < 0 \\ \text{otherwise} \\ \quad \begin{cases} h1 \leftarrow \gamma - epa1 \\ h2 \leftarrow h1 - epa2 \\ Nu \leftarrow b \cdot f_{cd} \cdot (f_{cn}(h1, r) - f_{cn}(yt, r)) \text{ if } yt > h2 \\ Nu \leftarrow b \cdot f_{cd} \cdot (f_{cn}(h1, r) - f_{cn}(h2, r)) \text{ otherwise} \end{cases} \end{cases}$$

$$fM_{ib}(r, b, \gamma, epa1, epa2) := \begin{cases} yt \leftarrow \max((\gamma - h, 0)) \\ Mu \leftarrow 0 \cdot kN \cdot m \text{ if } \gamma - epa1 < 0 \\ \text{otherwise} \\ h1 \leftarrow \gamma - epa1 \\ h2 \leftarrow h1 - epa2 \\ Mu \leftarrow b \cdot f_{cd} \cdot (fcm(h1, r) - fcm(yt, r)) \text{ if } yt > h2 \\ Mu \leftarrow b \cdot f_{cd} \cdot (fcm(h1, r) - fcm(h2, r)) \text{ otherwise} \end{cases}$$

Efforts repris par une armature $E = 200000 \text{ MPa}$ $E_{cm} = 32836.568 \text{ MPa}$ $N_{ue} = 4000 \text{ kN}$ $f_{ck} = 30 \text{ MPa}$

valeurs de départ $t := z_1 = 0.65 \text{ m}$ $E_{cd} := \frac{E_{cm}}{1.2} = 27363.807 \text{ MPa}$ $AB = 0.35 \text{ m}^2$
 $h = 0.7 \text{ m}$

$$f\varepsilon_s(\varepsilon_1, r, z) := \varepsilon_1 - \frac{z}{r} \quad n := \frac{E}{E_{cm}} \cdot (1 + \phi_{ef}) = 6.091 \quad f_{ctm} := 0.3 \cdot \left(\frac{f_{ck}}{\text{MPa}} \right)^{\frac{2}{3}} \cdot \text{MPa} = 2.896 \text{ MPa}$$

prise en compte du béton tendu $\sigma_c := \frac{N_{ue}}{AB} = 11.429 \text{ MPa}$

$\beta = 1$ si action de courte durée et 0,5 si longue durée $\beta := -0.5 \cdot \alpha + 1$ $\beta = 1$

calcul du moment de fissuration calcul de la contrainte acier correspondante en section non fissurée

$$M_r := (\sigma_c + f_{ctm}) \cdot \frac{IG}{(h - y_G)} = 938.563 \text{ kN} \cdot \text{m} \quad \sigma_{srnf}(t) := - \left[n \cdot \left[\sigma_c - M_r \cdot \frac{(t - y_G)}{IG} \right] \right] \quad \sigma_{srnf}(t) = 5.177 \text{ MPa}$$

$$cc := -1 \cdot \left(\frac{M_r}{N_{ue}} - y_G \right) = 0.115 \text{ m} \quad d := z_{n_{aci}-1} = 6.091$$

$$p := \begin{cases} \left[-3 \cdot cc^2 - 6 \cdot n \cdot \frac{A_0}{b_0} \cdot (cc - z_0) + 6 \cdot n \cdot \frac{A_{n_{aci}-1}}{b_0} \cdot (d - cc) \right] \text{ if } n_{tra} = 1 \\ -3 \cdot \frac{b_{n_{tra}-1}}{b_0} \cdot cc^2 + 3 \cdot \left(\frac{b_{n_{tra}-1}}{b_0} - 1 \right) \cdot (cc - e_0)^2 - 6 \cdot n \cdot \frac{A_0}{b_0} \cdot (cc - z_0) + 6 \cdot n \cdot \left[\frac{A_{n_{aci}-1}}{b_0} \cdot (d - cc) \right] \end{cases} \quad p = 0.07 \text{ m}^2$$

$$q := \begin{cases} \left[-2 \cdot cc^3 - 6 \cdot n \cdot \frac{A_0}{b_0} \cdot (cc - z_0)^2 - 6 \cdot n \cdot \frac{A_{n_{aci}-1}}{b_0} \cdot (d - cc)^2 \right] \text{ if } n_{tra} = 1 \\ -2 \cdot \frac{b_{n_{tra}-1}}{b_0} \cdot cc^3 + 2 \cdot \left(\frac{b_{n_{tra}-1}}{b_0} - 1 \right) \cdot (cc - e_0)^3 - 6 \cdot n \cdot \frac{A_0}{b_0} \cdot (cc - z_0)^2 - 6 \cdot n \cdot \left[\frac{A_{n_{aci}-1}}{b_0} \cdot (d - cc)^2 \right] \end{cases} \quad q = -0.071 \text{ m}^3$$

$$k(y_2) := y_2^3 + \frac{p}{m^2} \cdot y_2 + \frac{q}{m^3} \quad y_2 := 0.26 \quad \text{racine}(k(y_2), y_2) = 0.351$$

$$y_{cc} := \text{racine}(k(y_2), y_2) \cdot m \quad y_{1c} := y_{cc} + cc = 0.466 \text{ m} \quad y_{cc} = 0.351 \text{ m} \quad y_{1c} = 0.466 \text{ m}$$

$$I_1 := \begin{cases} \left[\frac{b_0}{3} \cdot y_{1c}^3 + n \cdot A_0 \cdot (y_{1c} - z_0)^2 + n \cdot A_{n_{aci}-1} \cdot (d - y_{1c})^2 \right] & \text{if } n_{tra} = 1 \vee y_{1c} < e_0 \\ \left[\frac{b_{n_{tra}-1}}{3} \cdot y_{1c}^3 - \left[(b_0 - b_{n_{tra}-1}) \cdot (y_{1c} - e_0)^3 \right] \right] + n \cdot \left[A_{n_{aci}-1} \cdot (d - y_{1c})^2 \right] + n \cdot A_0 \cdot (y_{1c} - z_0)^2 & \text{Mr} = 0.939 \text{ mMN} \end{cases}$$

$$K_p := N_{ue} \cdot \frac{y_{cc}}{I_1} \quad K_p = 67.103 \text{ m}^{-1} \text{ MPa} \quad I_1 = 0.0209050637 \text{ m}^4 \quad d = 0.65 \text{ m}$$

$$\sigma_{sr} := n \cdot K_p \cdot (d - y_{1c}) \quad \sigma_{sr} = 75.179 \text{ MPa}$$

application de l'article 7.4.3 $\epsilon_{sm} = (1 - \beta \cdot (\sigma_{sr}/\sigma_s)^2) \sigma_s/E + \beta \cdot (\sigma_{sr}/\sigma_s)^2 \cdot \epsilon_s$ non fissurée

$$\text{si on pose } \epsilon_{smr'} = (\sigma_{sr}/E_b) \cdot \beta \quad \epsilon_{sm} = (1 - \beta \cdot (\sigma_{sr}/\sigma_s)^2) \sigma_s/E + \epsilon_{smr'}$$

$$\text{allongement des aciers correspondants} \quad \epsilon_{smr}(t, \beta) := \frac{\beta \cdot \sigma_{srnf}(t)}{n \cdot E_{cd}} \quad \epsilon_{smr}(t, \beta) = 0.000031$$

évaluation de la contrainte σ_{sr} par $\frac{f_{ctm}}{\rho_{eff}} \cdot (1 + \alpha_e \cdot \rho_{eff})$ σ_{sr} section fissurée: formules tirées du background ch7

$$hef := 2.5 \cdot (h - z_{n_{aci}-1}) \quad \rho_{eff} := \frac{A_{n_{tra}-1}}{hef \cdot b_0} \quad \alpha_e := \frac{E}{E_{cm}} \quad ar := \frac{f_{ctm}}{\rho_{eff}} \cdot (1 + \alpha_e \cdot \rho_{eff}) \quad b_0 = 0.5 \text{ m} \quad \rho_{eff} = 0.051 \quad hef = 0.125 \text{ m} \quad \alpha_e = 6.091 \quad ar = 74.213 \text{ MPa}$$

Attention : on peut aussi introduire ici la contrainte des aciers correspondant au moment de fissuration Mr en section fissurée par calcul extérieur en flexion composée. ici σ_{sr} = contrainte forfaitaire du background..

$$N_{ue} = 4000 \text{ kN}$$

$$Mr = 938.563 \text{ kN} \cdot \text{m}$$

$$\sigma_{sr}(t) := ar$$

$$\epsilon_{sp}(t, \beta) := \frac{f_{yd}}{E} - \beta \cdot \left(\frac{\sigma_{sr}(t)}{E} - \epsilon_{smr}(t, \beta) \right) \frac{\sigma_{sr}(t)}{f_{yd}} \quad \epsilon_{sp}(t, \beta) = 0.002$$

$$\sigma(x, t, \beta) := 0.5 \left[E \cdot (x) + \left[[E \cdot (x)]^2 + 4 \cdot \beta \cdot (\sigma_{sr}(t)) \cdot (\sigma_{sr}(t) - E \cdot \epsilon_{smr}(t, \beta)) \right]^{0.5} \right]$$

$\beta_1 := 0.5$ pour tracer la courbe longue durée

$$\epsilon_{smr}(t, \beta) = 0.00003106 \quad \sigma_{sr}(t) = 74.213 \text{ MPa}$$

$$\epsilon_{smld}(t, \beta_1) := \epsilon_{smr}(t, \beta_1) + \frac{\sigma_{sr}(t)}{E} \cdot \left[1 - \beta_1 \cdot \left(\frac{\sigma_{sr}(t)}{f_{yd}} \right)^2 \right] \quad \epsilon_{sp1}(t, \beta_1) := \epsilon_{smr}(t, \beta_1) + \frac{f_{yd}}{E} \cdot \left[1 - \beta_1 \cdot \left(\frac{\sigma_{sr}(t)}{f_{yd}} \right)^2 \right]$$

courbe générale

$$f\sigma_s(\varepsilon_s, t) := \begin{cases} \frac{\sigma_{sr}(t)}{\varepsilon_{smr}(t, \beta)} \cdot \varepsilon_s & \text{if } 0 \leq \varepsilon_s \leq \varepsilon_{smr}(t, \beta) \\ \text{otherwise} \\ f_{yd} + \frac{f_{yk} \cdot (\text{kacier} - 1)}{\varepsilon_{uk} - \frac{f_{yk}}{E}} \cdot \left(\varepsilon_s - \frac{f_{yd}}{E} \right) & \text{if } \varepsilon_s \geq \varepsilon_{sp}(t, \beta) \\ \sigma(\varepsilon_s, t, \beta) & \text{if } (\beta \leq 1) \wedge (\varepsilon_{smld}(t, \beta) < \varepsilon_s < \varepsilon_{sp}(t, \beta)) \\ \sigma_{sr}(t) & \text{if } (\beta \leq 1) \wedge (\varepsilon_{smr}(t, \beta) < \varepsilon_s < \varepsilon_{smld}(t, \beta)) \\ E \cdot \varepsilon_s & \text{if } -\frac{f_{yd}}{E} < \varepsilon_s \leq 0 \\ -\left[f_{yd} + \frac{f_{yk} \cdot (\text{kacier} - 1)}{\varepsilon_{uk} - \frac{f_{yk}}{E}} \cdot \left(|\varepsilon_s| - \frac{f_{yd}}{E} \right) \right] & \text{if } \varepsilon_s < -\frac{f_{yd}}{E} \end{cases}$$

GEEC2

$$\sigma_c = 11.429 \text{ MPa}$$

$$\varepsilon_{smld}(t, \beta_1) = 0.0002011$$

$$\varepsilon_{smld}(t, \beta) = 0.00003106$$

$\beta_1 = 0.5$ courbe longue durée

$$f1\sigma_s(\varepsilon_s, t) := \begin{cases} \frac{\sigma_{sr}(t)}{\varepsilon_{smr}(t, \beta_1)} \cdot \varepsilon_s & \text{if } 0 \leq \varepsilon_s \leq \varepsilon_{smr}(t, \beta_1) \\ \text{otherwise} \\ f_{yd} + \frac{f_{yk} \cdot (\text{kacier} - 1)}{\varepsilon_{uk} - \frac{f_{yk}}{E}} \cdot \left(\varepsilon_s - \frac{f_{yd}}{E} \right) & \text{if } \varepsilon_s \geq \varepsilon_{sp1}(t, \beta_1) \\ \sigma(\varepsilon_s, t, \beta_1) & \text{if } (\beta_1 = 0.5) \wedge (\varepsilon_{smld}(t, \beta_1) < \varepsilon_s < \varepsilon_{sp1}(t, \beta_1)) \\ \sigma_{sr}(t) & \text{if } (\beta_1 = 0.5) \wedge (\varepsilon_{smr}(t, \beta_1) < \varepsilon_s < \varepsilon_{smld}(t, \beta_1)) \end{cases}$$

$$\varepsilon_{smr}(t, \beta) = 0.000031$$

$$\sigma(\varepsilon_{smr}(t, \beta_1), t, \beta_1) = 52.943 \text{ MPa}$$

$$\sigma(0.000031, t, \beta) = 74.207 \text{ MPa}$$

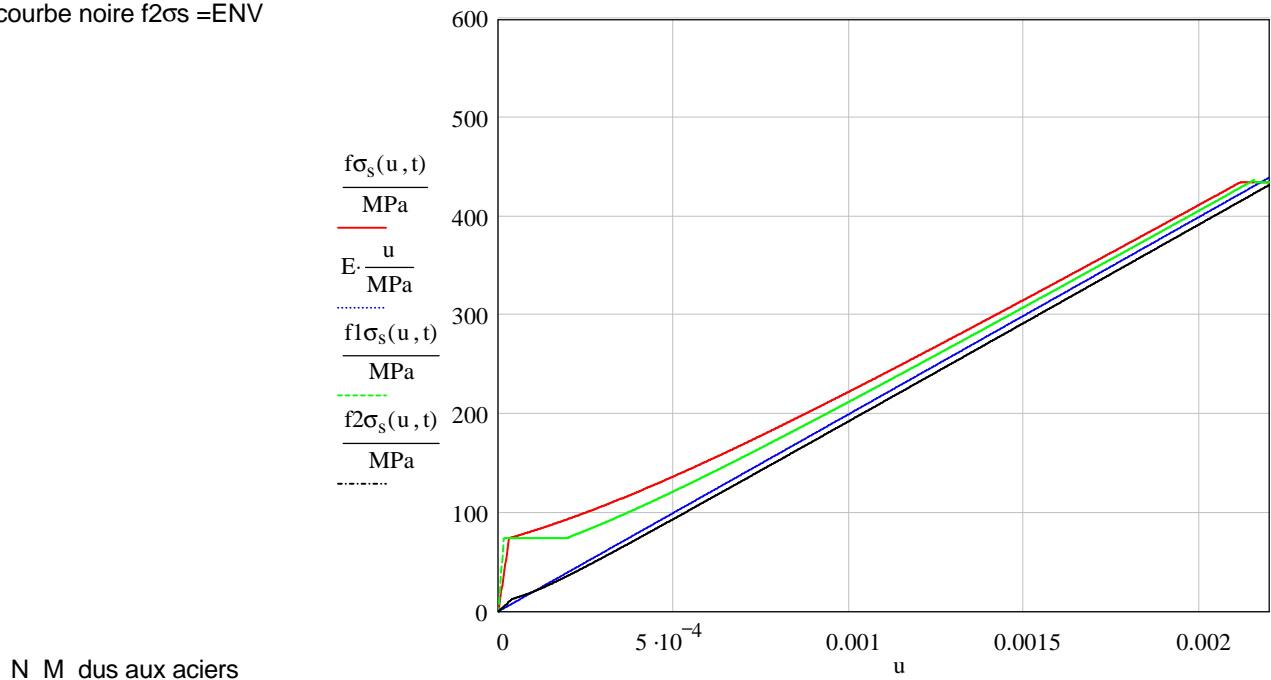
$$\sigma\left(\frac{435}{200000}, t, \beta\right) = 446.307 \text{ MPa}$$

$$\varepsilon_{smr}(t, \beta) = 0.000031$$

$$y_G = 0.35 \text{ m} \quad \sigma_c = 11.429 \text{ MPa} \quad f_{ctm} = 2.896 \text{ MPa} \quad \text{pente de la courbe à l'origine}$$

$$\frac{\sigma_{sr}(t)}{\varepsilon_{smr}(t, \beta)} = 2.389 \times 10^6 \text{ MPa}$$

courbe noire $f2\sigma_s = \text{ENV}$



$$fN_{ia}(\varepsilon_1, r, A, z) := A \cdot f\sigma_s(f\varepsilon_s(\varepsilon_1, r, z), z) \quad fM_{ia}(\varepsilon_1, r, A, z) := fN_{ia}(\varepsilon_1, r, A, z) \cdot (y_G - z)$$

Efforts repris par la section complète

$$h = 0.7 \text{ m} \quad IG = 0.023 \text{ m}^4$$

$$fN_b(\varepsilon_1, r) := \sum_{ib} fN_{ib}\left(r, b_{ib}, r \cdot \varepsilon_1, y_{ib} - \frac{e_{ib}}{2}, y_{ib} + \frac{e_{ib}}{2}\right)$$

$$Mr = 938.563 \text{ kN} \cdot \text{m}$$

$$fM_b(\varepsilon_1, r) := \sum_{ib} fM_{ib}\left(r, b_{ib}, r \cdot \varepsilon_1, y_{ib} - \frac{e_{ib}}{2}, y_{ib} + \frac{e_{ib}}{2}\right) + (y_G - r \cdot \varepsilon_1) \cdot fN_b(\varepsilon_1, r)$$

$$\varepsilon_{cu1f} = 0.004$$

$$\varepsilon_{eu} = 0.045$$

$$fN_a(\varepsilon_1, r) := \sum_{ia} fN_{ia}(\varepsilon_1, r, A_{ia}, z_{ia}) \quad fM_a(\varepsilon_1, r) := \sum_{ia} fM_{ia}(\varepsilon_1, r, A_{ia}, z_{ia})$$

$$z_1 = 0.65 \text{ m}$$

$$fN(\varepsilon_1, r) := fN_b(\varepsilon_1, r) + fN_a(\varepsilon_1, r) \quad fM(\varepsilon_1, r) := fM_b(\varepsilon_1, r) + fM_a(\varepsilon_1, r)$$

Excentricité

$$fexc(r, NN, M) := \frac{M}{NN} - \left(e_1 + \frac{l_f^2}{\pi^2 \cdot r} \right)$$

```

fNu(r) := | εb1 ← εcu1f
              | NN ← fN(εb1, r)
              | f1 ← fexc(r, NN, fM(εb1, r))
              | Nu ← 0 · kN if (f1 > 0) + (NN < 0)

otherwise
    while TRUE
        εb2 ← 0.5 · εb1
        while TRUE
            NN ← fN(εb2, r)
            f2 ← fexc(r, NN, fM(εb2, r))
            break if NN > 0
            εb2 ← 0.5 · (εb1 + εb2)
        break if f1 · f2 < 0
        εb1 ← εb2
        f1 ← f2
    while TRUE
        εb3 ← εb2 - f2 · εb2 - εb1 / f2 - f1
        NN ← fN(εb3, r)
        f3 ← fexc(r, NN, fM(εb3, r))
        break if |f3| < 0.0005 · m
        if f2 · f3 < 0
            εb1 ← εb3
            f1 ← f3
            f2 ← 0.5 · f2
        otherwise
            εb2 ← εb3
            f1 ← 0.5 · f1
            f2 ← f3
        Nu ← NN
    Nu on error Nu

```

Ecart relatif à la charge appliquée

$$f\Delta N(r) := \frac{fN_u(r) - N_{ue}}{N_{ue}}$$

N_{ue} = 4000 kNfN_u(300 · m) = 4217.691 kN

Analyse du logiciel TIGEEC2

2.3 Calcul de la charge critique

2.3.1 Recherche de la valeur de r fournissant le maximum de la fonction $fN_u(r)$

La recherche est faite dans l'intervalle $(r_1 \quad r_2)$

- première valeur r_2 telle que $fN_u(r_2) \neq 0$ obtenue par doublements successifs

$$l_f = 15 \text{ m}$$

```

 $r_2 := \begin{cases} r \leftarrow 20 \cdot l_f \\ \text{while TRUE} & r_2 = 300 \text{ m} \\ \quad \left| N_u \leftarrow fN_u(r) \right. \\ \quad \left| \text{break if } N_u \neq 0 \right. \\ \quad \left| r \leftarrow 2 \cdot r \right. \\ \left. r \text{ on error r} \right. \end{cases}$ 
 $r := r_2 \quad fN_u(r_2) = 4217.691 \text{ kN} \quad f\Delta N(r_2) = 0.054$ 

```

- première valeur r_1 telle que $fN_u(r_1) < fN_u(r_2)$ obtenue par divisions par 2 successives

```

 $r_1 := \begin{cases} r \leftarrow r_2 & fN_u(150 \cdot m) = 4149.845 \text{ kN} \\ N_2 \leftarrow fN_u(r) \\ \text{while TRUE} & r_1 = 150 \text{ m} \\ \quad \left| r \leftarrow 0.5 \cdot r \right. \\ \quad \left| N_1 \leftarrow fN_u(r) \right. \\ \quad \left| \text{break if } N_1 < N_2 \right. \\ \quad \left| N_2 \leftarrow N_1 \right. \\ \left. r \text{ on error r} \right. \end{cases}$ 
 $r := r_1 \quad fN_u(r_1) = 4149.845 \text{ kN} \quad f\Delta N(r_1) = 0.037$ 

```

Analyse du logiciel TIGEEC2

- affinage de l'intervalle $(r_1 \dots r_2)$ par recherche vers l'avant ($fN_u(r_1) > fN_u(r_2)$) et vers l'arrière ($fN_u(r_1) < fN_u(\epsilon_b, r_2)$) avec l'incrément r_4 .
 r_4 est divisé par 2 à chaque changement de sens.

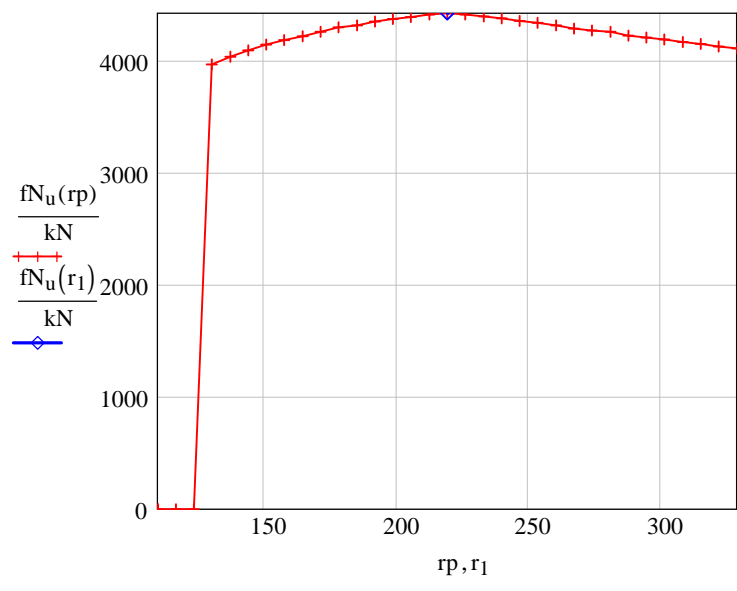
```

r1 := | r ← r1
      | r4 ← r
      | while  $\frac{r}{r_4} < 100$ 
      |   N1 ← fN_u(r)
      |   r4 ← 0.5 · r4
      |   while TRUE
      |     | N2 ← fN_u(r + r4)
      |     | break if  $(N_2 - N_1) < 0$ 
      |     | N1 ← N2
      |     | r ← r + r4
      |   r4 ← 0.5 · r4
      |   while TRUE
      |     | N2 ← N1
      |     | r ← r - r4
      |     | N1 ← fN_u(r)
      |     | break if  $(N_2 - N_1) > 0$ 
      |   r on error r
  
```

$$r_1 = 219.141 \text{ m}$$

$$np := 32$$

$$rp := \frac{r_1}{2}, \frac{r_1}{2} + \frac{r_1}{np} \dots \frac{3 \cdot r_1}{2}$$



$$r_1 = 219.141 \text{ m} \quad fN_u(r_1) = 4438.323 \text{ kN}$$

2.3.2 Résultats charge critique

Résultat du test de validation

rotation en tête

$$\omega_u := \frac{l_f}{\pi \cdot r_1} \quad \omega_u = 0.021788$$

$$\omega_0 := 0.0242522 \quad r_0 := \frac{l_f}{\pi \cdot \omega_0} \quad r_0 = 196.875 \text{ m}$$

déplacement en tête

$$f_u := \omega_u \cdot \frac{l_f}{\pi} \quad f_u = 0.104 \text{ m}$$

$$r_1 = 219.141 \text{ m}$$

$$fN_u(r_0) = 4377.048 \text{ kN}$$

charge critique

$$N_{uc} := fN_u(r_1)$$

$$N_{uc} = 4438.323 \text{ kN}$$

$$M_{uc} := N_{uc} \cdot f_u$$

$$M_{uc} = 461.72 \text{ m} \cdot \text{kN}$$

Analyse du logiciel TIGEEC2

2.4 Recherche de l'équilibre

effort appliqué

$$N_{ue} = 4000 \text{ kN}$$

effort maximum acceptable

$$N_{uc} = 4438.323 \text{ kN}$$

$$N_{uc} > N_{ue} = 1$$

2.4.1 Recherche de la valeur de r telle que $fN_u(r) = N_{ue}$

La recherche est faite dans l'intervalle $(r_1 \dots r_2)$.

- première valeur r_2 telle que $fN_u(r_2) < N_{ue}$ obtenue par doublements successifs

```

 $r_2 := \begin{cases} r \leftarrow r_1 \\ \text{while TRUE} \\ \quad \begin{cases} r \leftarrow 2 \cdot r \\ N_2 \leftarrow fN_u(r) \\ \text{break if } (N_2 < N_{ue}) \text{ on error } N_2 \end{cases} \\ r \end{cases}$ 

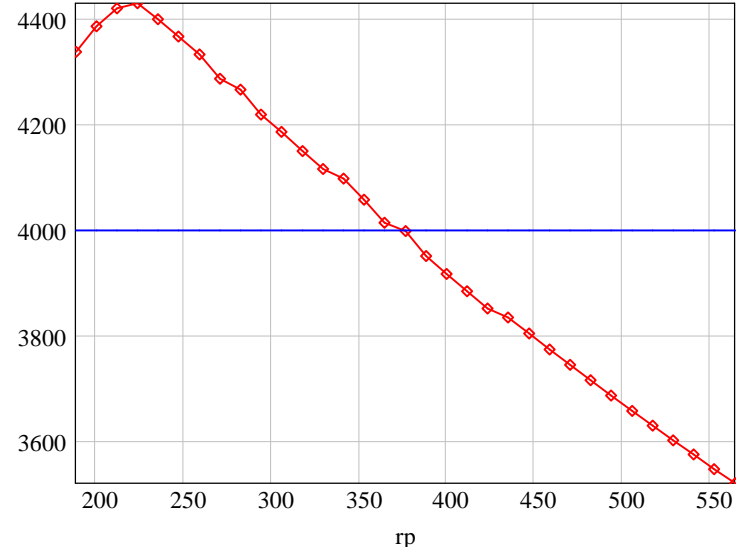
```

- recherche par dichotomie

```

 $r_3 := \begin{cases} r_1 \leftarrow \frac{r_2}{2} \\ \Delta N_1 \leftarrow f\Delta N(r_1) \\ r_2 \leftarrow 2 \cdot r_1 \\ \Delta N_2 \leftarrow f\Delta N(r_2) \\ \text{while TRUE} \\ \quad \begin{cases} r_3 \leftarrow r_2 - \Delta N_2 \cdot \frac{r_2 - r_1}{\Delta N_2 - \Delta N_1} \\ \Delta N_3 \leftarrow f\Delta N(r_3) \\ \text{break if } |\Delta N_3| < 0.01 \\ \text{if } \Delta N_2 \cdot \Delta N_3 < 0 \\ \quad \begin{cases} r_1 \leftarrow r_3 \\ \Delta N_1 \leftarrow \Delta N_3 \\ \Delta N_2 \leftarrow 0.5 \cdot \Delta N_2 \end{cases} \\ \text{otherwise} \\ \quad \begin{cases} r_2 \leftarrow r_3 \\ \Delta N_2 \leftarrow \Delta N_3 \\ \Delta N_1 \leftarrow 0.5 \cdot \Delta N_1 \end{cases} \\ r_3 \text{ on error } r_3 \end{cases} \\ r_3 = 376.303 \text{ m} \\ np := 32 \\ rp := \frac{r_3}{2}, \frac{r_3}{2} + \frac{r_3}{np}, \dots, \frac{3 \cdot r_3}{2} \end{cases}$ 

```



$$r_3 = 376.303 \text{ m} \quad fN_u(r_3) = 3998.74 \text{ kN} \quad N_{ue} = 4000 \text{ kN}$$

Analyse du logiciel TIGEEC2

2.4.2 Résultats recherche d'équilibre

rotation en tête

$$\phi_{ef} = 0$$

déplacement en tête

$$\omega_u := \frac{l_f}{\pi \cdot r_3}$$

$$\omega_u = 0.012688$$

$$f_u := \omega_u \cdot \frac{l_f}{\pi} \quad f_u = 60.582 \text{ mm}$$

moment du premier ordre

$$M_{u1} := N_{ue} \cdot e_1 \quad M_{u1} = 600 \text{ m-kN}$$

moment du deuxième ordre

$$M_{u2} := N_{ue} \cdot f_u \quad M_{u2} = 242.329 \text{ m-kN}$$

moment total

$$M_u := M_{u1} + M_{u2} \quad M_u = 842.329 \text{ m-kN}$$

éloignement de la charge critique

$$\lambda := \frac{N_{ue}}{N_{uc}}$$

$$\lambda = 0.901$$